

(177) MgO 飽和 CaO - FeO_x - SiO_2 系スラグ-溶鉄間のバナジウムの分配

東北大学 選鉱製錬研究所 井上亮 ○水渡英昭

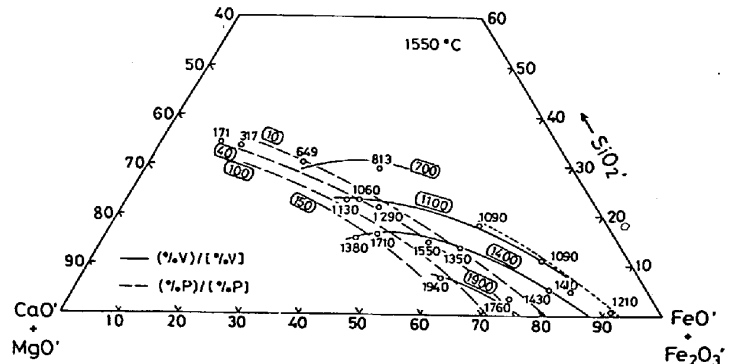
[I] 緒言：溶鉄予備脱珪處理過程におけるバナジウムの挙動を知るために、 MgO 飽和 CaO - FeO_x - SiO_2 系スラグ-溶鉄間のバナジウムの分配比を $1550\sim1650^{\circ}C$ で求めた。

[II] 実験方法：溶解は $LaCrO_3$ 発熱体抵抗炉を用い脱酸アルゴン気流中で行った。 MgO とつぼに純鉄(25g), CaO - FeO_x - SiO_2 系スラグ(7~10g)を入れ、実験温度 1550 , 1600 , $1650^{\circ}C$ で実験を行った。スラグ組成、温度により溶解時間は3~5時間とした。スラグ中のV濃度は1~1.5%であった。スラグ中の V^{5+} , V^{4+} , V^{3+} の存在割合は、本実験の Fe_2O_3 濃度とVを含まず P_2O_5 を約1%含む MgO 飽和 CaO - FeO_x - SiO_2 系スラグ-溶鉄間のりんの平衡実験¹⁾における Fe_2O_3 濃度との関係から求めた。

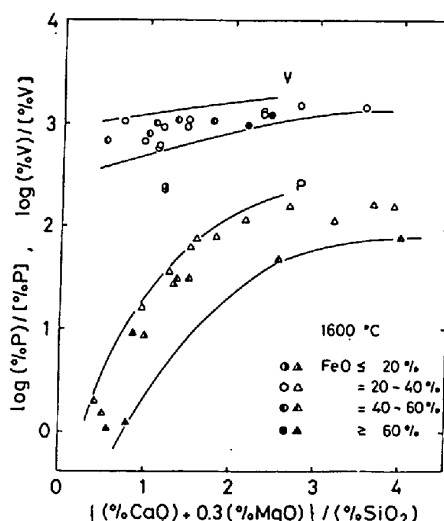
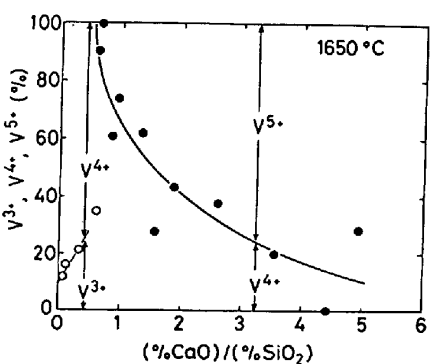
[III] 実験結果

(i) バナジウムの分配比(V)/[V]のスラグ組成依存性：Fig. 1に $1550^{\circ}C$ での(V)/[V]比の結果を示す。りんの分配比(P)/[P]と比べて曲線の形状は(FeO' + Fe_2O_3')濃度の低い領域で異っている。 1600 , $1650^{\circ}C$ での結果も同様の傾向を示した。 $\log(V)/[V]$ および $\log(P)/[P]$ と塩基度 $\{(% CaO) + 0.3(% MgO)\}/(% SiO_2)$ との $1600^{\circ}C$ での関係を Fig. 2 に示す。塩基度の上昇に伴ってバナジウム、りんの分配比は共に増加するが、バナジウムの分配比の増加の割合は小さい。温度依存性はりんほど認められなかった。

(ii) V^{5+} , V^{4+} , V^{3+} の存在割合のスラグ組成依存性：スラグ中では V^{5+} / V^{4+} または V^{4+} / V^{3+} の平衡が成立すると仮定し、さらに全バナジウム濃度として1~1.5%を含むスラグとバナジウムを含まないスラグとで $\gamma_{FeO'}$ / $\gamma_{Fe_2O_3'}$ 比が変わらないと仮定して求めた V^{5+} , V^{4+} , V^{3+} の存在割合のスラグ組成依存性を $1650^{\circ}C$ について Fig. 3 に示す。

Fig. 1 Vanadium partitions (V)/[V] in CaO - MgO_{sat} - FeO - SiO_2 slags - iron melt system at $1550^{\circ}C$.

1) H. Suito,
R. Inoue and
M. Takada:
Trans. ISIJ,
21 (1981),
P 250.

Fig. 2 Logarithm of the vanadium and phosphorus partitions at $1600^{\circ}C$.Fig. 3 Relationship between V^{5+} , V^{4+} and V^{3+} content in slag and CaO/SiO_2 ratio.